

ЧИСЛЕННОЕ РЕШЕНИЕ ЗАДАЧИ КОШИ

Теоретический материал к данной теме содержится в [1, глава 14].

Отчет по лабораторной работе должен содержать следующие материалы по каждой задаче: 1) постановка задачи; 2) необходимый теоретический материал; 3) решение поставленной задачи; 4) анализ полученных результатов; 5) графический материал (если необходимо); 6) тексты программ.

Варианты заданий к задачам 7.1-7.7 даны в *ПРИЛОЖЕНИИ 7.A*.

Фрагменты решения задач 7.1 и 7.2 в пакете Mathcad даны в *ПРИЛОЖЕНИИ 7.B*.

Задача 7.1. Найти приближенное решение задачи Коши для обыкновенного дифференциального уравнения (ОДУ) 1 порядка

$$\begin{aligned}y'(t) &= f(t, y(t)), \quad t \in [t_0, T], \\ y(t_0) &= y_0\end{aligned}\quad (1)$$

и оценить погрешность решения задачи.

ПОРЯДОК РЕШЕНИЯ ЗАДАЧИ:

1. Задать исходные данные: функцию f правой части, начальное значение y_0 .
 2. Написать функцию **eyler**, реализующую метод Эйлера, и с помощью этой функции найти приближенное решение задачи Коши с шагом $h=0.1$ по явному методу Эйлера.
 3. Написать функцию **rkfixed**, реализующую метод Рунге-Кутты, и с ее помощью найти приближенное решение задачи Коши с шагом $h=0.1$ по методу Рунге-Кутты 4 порядка точности.
 4. Найти решение задачи Коши аналитически.
 5. Построить таблицы значений приближенных и точного решений. На одном чертеже построить графики приближенных и точного решений.
 6. Оценить погрешность приближенных решений двумя способами:
 - a) по формуле $\mathcal{E} = \max_{0 \leq i \leq N} |y(t_i) - y_i|$; здесь $y(t_i)$ и y_i - значения точного и приближенного решений в узлах сетки $t_i, i=1..N$;
 - b) по правилу Рунге (по правилу двойного пересчета) (см. *ПРИЛОЖЕНИЕ 7.C*).
 7. Выяснить, при каком значении шага $h=h^*$ решение, полученное по методу Эйлера, будет иметь такую же погрешность (см. п. 6а), как решение, полученное с помощью метода Рунге-Кутты с шагом $h=0.1$.
- УКАЗАНИЕ. В п. 7 рекомендуется провести серию вычислений решения по методу Эйлера, дробя шаг h пополам.

Задача 7.2. Задача Коши для ОДУ 2 порядка

$$\begin{aligned}mx'' + Hx' + kx &= f(t), \quad t \in [0, T], \\ x(0) &= x_0 \\ x'(0) &= v_0\end{aligned}$$

описывает движение груза массы m , подвешенного к концу пружины. Здесь $x(t)$ – смещение груза от положения равновесия, H – константа, характеризующая силу сопротивления среды, k – коэффициент упругости пружины, $f(t)$ – внешняя сила. Начальные условия: x_0 – смещение груза в начальный момент времени $t=0$, v_0 – скорость груза в начальный момент времени. Промоделировать движение груза на временном отрезке $[0, T]$ при заданных в индивидуальном варианте трех наборах (I, II, III) значений параметров задачи. Для каждого набора по найденной таблице (или графику) решения задачи определить максимальное и минимальное значения функции $x(t)$ и моменты времени, в которые эти значения достигаются. Предложить свой вариант задания параметров, при которых характер колебаний груза существенно отличается от рассмотренного ранее.

ПОРЯДОК РЕШЕНИЯ ЗАДАЧИ:

1. Заменить исходную задачу эквивалентной задачей Коши для системы ОДУ 1 порядка:

$$\begin{aligned}x_1' &= x_2 \\x_2' &= \frac{f(t) - Hx_2 - kx_1}{m} \\x_1(0) &= x_0 \\x_2(0) &= v_0\end{aligned}\tag{2}$$

2. Для каждого варианта выбора параметров решить задачу (2) с помощью метода Рунге-Кутты 4 порядка точности с шагом $h=0.1$.

3. Для каждого варианта выбора параметров построить график найденного решения. Сравнить характер движения груза и дать интерпретацию полученного движения.

4. Для каждого варианта выбора параметров определить требуемые в задаче характеристики.

УКАЗАНИЕ. В п. 2 использовать функцию **rkfixed**, написанную для задачи 7.1.

Задача 7.3. Решить приближенно задачу Коши для ОДУ 1 порядка вида (1), используя метод Рунге-Кутты 4 порядка точности и метод, указанный в варианте, с шагами h и $h/2$. Для каждого метода оценить погрешность по правилу Рунге и вычислить уточненное решение (см. ПРИЛОЖЕНИЕ 7.С). Построить на одном чертеже графики приближенных решений (с шагом $h/2$) и графики уточненных решений.

УКАЗАНИЕ. Для нахождения начальных значений, необходимых для начала вычислений многошаговых методов, использовать функцию **rkfixed**, написанную для задачи 7.1.

Задача 7.4. Решить приближенно задачу Коши для ОДУ 3 порядка

$$\begin{aligned}a_0 y''' + a_1 y'' + a_2 y' + a_3 y &= f(t) \\y(A) &= b_1, \quad y'(A) = b_2, \quad y''(A) = b_3\end{aligned}$$

на отрезке $[A, B]$, используя метод Рунге-Кутты 4 с шагами $h=0.1$ и $h=0.05$ для систем ОДУ 1 порядка. Оценить погрешность по правилу Рунге. Построить график решения, найденного с шагом $h=0.05$.

УКАЗАНИЕ. Эквивалентная задача Коши для системы ОДУ 1 порядка приведена в ПРИЛОЖЕНИИ 7.С.

Задача 7.5. Дана жесткая задача Коши вида (1). Найти решение задачи с заданной точностью $\varepsilon = 10^{-3}$.

ПОРЯДОК РЕШЕНИЯ ЗАДАЧИ:

1. Используя функцию **euler**, написанную для задачи 7.1, найти приближенное решение задачи Коши явным методом Эйлера с шагом $h=0.15$.

2. Найти решение задачи методом Рунге-Кутты 4 порядка точности с помощью функции **rkfixed**, написанной для задачи 7.1, с шагом $h=0.15$.

3. Построить графики приближенных и точного решений задачи.

4. Уменьшая шаг, найти решение задачи с заданной точностью ε каждым из методов. Сравнить значения шагов интегрирования, при которых достигается точность ε .

5. Объяснить полученные результаты.

Задача 7.6. Даны две задачи Коши для систем ОДУ 1 порядка с постоянными коэффициентами на отрезке $[0, 1]$

$$\begin{aligned}Y'(t) &= AY(t), \quad Y(0) = Y_0, \\Z'(t) &= BZ(t), \quad Z(0) = Z_0,\end{aligned}$$

где A и B – заданные матрицы, Y_0, Z_0 – заданные векторы. Выяснить, какая из задач является жесткой.

ПОРЯДОК РЕШЕНИЯ ЗАДАЧИ:

1. Составить программу-функцию нахождения решения системы ОДУ 1 порядка с постоянными коэффициентами по явному методу Эйлера. Используя составленную программу, решить обе задачи с шагом $h=0.01$. Определить, для какой из задач явный метод неустойчив при данном шаге h .

2. Используя встроенную функцию для нахождения собственных чисел матриц A и B , найти коэффициенты жесткости обеих систем. Какая из задач является жесткой?

3. Для жесткой задачи теоретически оценить шаг h^* , при котором явный метод Эйлера будет устойчив (см. ПРИЛОЖЕНИЕ 7.С).

4. Составить программу-функцию нахождения решения системы ОДУ 1 порядка с постоянными коэффициентами по неявному методу Эйлера. Используя составленную программу, найти решение жесткой задачи с шагом $h=0.01$. Построить графики компонент полученного решения.

5. Для жесткой задачи экспериментально подобрать шаг h , при котором графики компонент решения, полученного по явному методу Эйлера, визуально совпадают с графиками компонент решения, полученного по неявному методу с шагом $h=0.01$. Сравнить найденное значение шага

с шагом h^* . Объяснить различие поведения явного и неявного методов Эйлера при решении жесткой задачи.

Задача 7.7.** Решить приближенно задачу Коши для ОДУ 1 порядка вида (1) с помощью метода, указанного в индивидуальном варианте, с точностью $\varepsilon=10^{-4}$. При нахождении решения использовать алгоритм автоматического выбора шага.

УКАЗАНИЕ. В результате работы программы должен создаваться файл, содержащий вектор значений приближенного решения, а также значение шага h , при котором достигается заданная точность ε . Программа по запросу должна выдавать на экран таблицу значений найденного решения в фиксированной 21 точке отрезка $[t_0, T]$ или график найденного решения.

ПРИЛОЖЕНИЕ 7.А.

Схема вариантов к лабораторной работе 7

N	Выполняемые задачи	N	Выполняемые задачи	N	Выполняемые задачи
1	7.1.1, 7.2.1, 7.5.1	11	7.1.11, 7.2.4, 7.6.4	21	7.1.21, 7.2.8, 7.6.2
2	7.1.2, 7.3.1, 7.6.1	12	7.1.12, 7.2.5, 7.7.4	22	7.1.22, 7.3.8, 7.7.2
3	7.1.3, 7.4.1, 7.7.1	13	7.1.13, 7.3.5, 7.5.5	23	7.1.23, 7.4.8, 7.5.3
4	7.1.4, 7.2.2, 7.6.2	14	7.1.14, 7.4.5, 7.6.5	24	7.1.24, 7.2.9, 7.6.3
5	7.1.5, 7.3.2, 7.5.2	15	7.1.15, 7.2.6, 7.6.6	25	7.1.25, 7.3.9, 7.7.3
6	7.1.6, 7.4.2, 7.7.2	16	7.1.16, 7.3.6, 7.7.6	26	7.1.26, 7.4.9, 7.6.4
7	7.1.7, 7.2.3, 7.5.3	17	7.1.17, 7.4.6, 7.5.1	27	7.1.27, 7.2.10, 7.5.4
8	7.1.8, 7.4.3, 7.6.3	18	7.1.18, 7.2.7, 7.6.1	28	7.1.28, 7.4.4, 7.7.4
9	7.1.9, 7.3.3, 7.7.3	19	7.1.19, 7.3.7, 7.7.1	29	7.1.29, 7.3.10, 7.5.5
10	7.1.10, 7.3.4, 7.5.4	20	7.1.20, 7.4.7, 7.5.2	30	7.1.30, 7.4.10, 7.6.5

ВАРИАНТЫ ЗАДАНИЙ К ЛАБОРАТОРНОЙ РАБОТЕ 7

Таблица к задаче 7.1

N	$f(t,y)$	t_0	T	y_0	N	$f(t,y)$	t_0	T	y_0
7.1.1	$y/t + t^2$	1	2	0	7.1.16	$-y/t + 3t$	1	2	1
7.1.2	$yctgt + 2t \sin t$	$\frac{\pi}{2}$	$\frac{\pi}{2} + 1$	0	7.1.17	$\frac{2ty}{1+t^2} + 1 + t^2$	1	2	3
7.1.3	$-y \cos t + \frac{\sin(2t)}{2}$	0	1	0	7.1.18	$\frac{2t-1}{t^2} y + 1$	1	2	1
7.1.4	$-ytgt + \cos^2 t$	$\frac{\pi}{4}$	$\frac{\pi}{4} + 1$	0.5	7.1.19	$-\frac{3y}{t} + \frac{2}{t^3}$	1	2	1
7.1.5	$\frac{y}{t+2} + t^2 + 2t$	-1	0	1.5	7.1.20	$-2ty - 2t^3$	1	2	e^{-1}
7.1.6	$\frac{y}{t+1} + e^t(t+1)$	0	1	1	7.1.21	$y/t - 2/t^2$	1	1	1
7.1.7	$y/t + t \sin t$	$\frac{\pi}{2}$	$\frac{\pi}{2} + 1$	1	7.1.22	$-ty - t^3$	0	1	3
7.1.8	$-y/t + \sin t$	π	$\pi + 1$	$\frac{1}{\pi}$	7.1.23	$\frac{2}{t+1} y + e^t(t+1)^2$	0	1	1
7.1.9	$-\frac{y}{2t} + t^2$	1	2	1	7.1.24	$-2ty + te^{-t^2} \sin t$	0	1	1

* Задача 7.7 выполняется на АЛГОРИТМИЧЕСКОМ ЯЗЫКЕ.

7.1.10	$-\frac{2t}{1+t^2}y + \frac{2t^2}{1+t^2}$	0	1	$\frac{2}{3}$	7.1.25	$\frac{2y}{t+1} + (t+1)^3$	0	1	0.5
7.1.11	$\frac{2t-5}{t^2}y + 5$	2	3	4	7.1.26	$y \cos t - \sin 2t$	0	1	3
7.1.12	$-y/t + \frac{t+1}{t}e^t$	1	2	e	7.1.27	$4ty - 4t^3$	0	1	-0.5
7.1.13	$y/t - 2 \ln t/t$	1	2	1	7.1.28	$y/t - \ln t/t$	1	2	1
7.1.14	$y/t - 12/t^3$	1	2	4	7.1.29	$3t^2y + t^2(1+t^3)/3$	0	1	0
7.1.15	$-2y/t + t^3$	1	2	$-\frac{5}{6}$	7.1.30	$y \cos t + \sin 2t$	0	1	-1

Таблица к задаче 7.2

N		H	k	m	$f(t)$	$x0$	$v0$	T
7.2.1	I	0.5	1	1	0	10	0	20
	II	“-	“-	“-	\sqrt{t}	0	“-	“-
	III	“-	“-	“-	\sqrt{t}	-10	“-	“-
7.2.2	I	1	1	0.5	$t \sin(t)$	0	0	20
	II	“-	“-	“-	0	“-	-10	“-
	III	“-	“-	“-	$t \sin(t)$	“-	-50	“-
7.2.3	I	1	5	0.75	0	-10	0	5
	II	“-	“-	“-	“-	0	10	“-
	III	“-	“-	“-	“-	-10	10	“-
7.2.4	I	1	1	1	$\cos(t)$	0	0	20
	II	“-	“-	3	“-	“-	“-	“-
	III	“-	“-	6	“-	“-	“-	“-
7.2.5	I	0.5	5	1	0	20	0	15
	II	“-	50	“-	“-	“-	“-	“-
	III	“-	0.5	“-	“-	“-	“-	“-
7.2.6	I	1	5	1	0	0	1	15
	II	“-	0.5	“-	“-	“-	“-	“-
	III	“-	50	“-	“-	“-	“-	“-
7.2.7	I	1	1	5	-t	15	0	40
	II	0.1	“-	“-	“-	“-	“-	“-
	III	10	“-	“-	“-	“-	“-	“-
7.2.8	I	1	1	0.5	$\sin(t)$	0	0	20
	II	“-	“-	5	“-	“-	“-	“-
	III	“-	“-	50	“-	“-	“-	“-
7.2.9	I	1	1	2	$-\cos(0.5t)$	0	0	20
	II	“-	“-	“-	$-\cos(2t)$	“-	“-	“-
	III	“-	“-	“-	2	“-	“-	“-
7.2.10	I	0.5	1	0.5	$-\sqrt{t}$	0	-10	15
	II	“-	“-	“-	“-	0	10	“-
	III	“-	“-	“-	\sqrt{t}	0	10	“-

Таблица к задаче 7.3

N	$f(t,y)$	$t0$	T	$y0$	Метод*
7.3.1	$-ty + (1+t)e^{-t}y^2$	0	1	1	Метод Рунге-Кутты 3 порядка I
7.3.2	$-4t^3y + 4(t^3+1)e^{-4t}y^2$	0	1	1	Экстраполяционный метод Адамса 2 порядка

* Расчетные формулы методов даны в ПРИЛОЖЕНИИ 7.С.

7.3.3	$-4t^3y + 4(1-t^3)e^{4t}y^2$	0	1	-1	Модифицир. метод Эйлера 2 порядка
7.3.4	$y + 2ty^2$	0	0.8	0.5	Экстраполяционный метод Адамса 3 порядка
7.3.5	$-2ty + 2t^3y^3$	0	1	$\sqrt{2}$	Метод Рунге-Кутты 3 порядка II
7.3.6	$-ty + (t-1)e^t y^2$	0	1	1	Экстраполяционный метод Адамса 3 порядка
7.3.7	$y + ty^2$	0	0.8	1	Экстраполяционный метод Адамса 4 порядка
7.3.8	$-y + ty^2$	0	1	1	Метод разложения по формуле Тейлора 2 порядка
7.3.9	$-ty + 0.5(t-1)e^t y^2$	0	1	2	Экстраполяционный метод Адамса 3 порядка
7.3.10	$ytgt - (2/3)y^4 \sin t$	0	1	1	Метод Рунге-Кутты 3 порядка III

Таблица к задаче 7.4

N	A	B	b_1	b_2	b_3	a_0	a_1	a_2	a_3	$f(t)$
7.4.1	0	1.5	1	2.5	6	1	-2	0.25	45.75	$e^{-2t} + 3t + 1$
7.4.2	0	1.5	1	2.0	4	1	-1.8	0.36	44.28	$e^{-2t} - 1.5t + 1$
7.4.3	0	1.5	1	2.5	6	1	-1.4	0.64	41.52	$\cos(2t) + 3t + 1$
7.4.4	0	2.0	1	1.5	2	1	-1.4	1.88	45.24	$\sin(2t) + 2t - 1$
7.4.5	0	1.5	1	3.0	10	1	-2.4	0.09	48.87	$\sin(t) - 7t + 2$
7.4.6	0	1.0	1	3.5	9	1	-1	8.8	29.00	$\cos(t) + 5t + 3$
7.4.7	0	1.5	1	2.8	5	1	-1.5	-1.25	53.375	$e^{-t} + \cos(2t)$
7.4.8	0	1.5	1.5	4.0	10	1	-4.6	3.94	34.28	$e^{-1.5t} + 2\sin(3t)$
7.4.9	0	1.5	0	2.5	8	1	-4.1	0.64	42.85	$e^{-2t} + 3\sin(2.5t)$
7.4.10	0	1.5	0	3.1	9	1	-3.9	9.43	26.295	$\sin(2t) + 2\cos(3t)$

Таблица к задаче 7.5

N	$f(t,y)$	$t0$	T	$y0$	точное решение
7.5.1	$-20y + 2t - 19.9$	0	1.5	0	$-1 + 0.1t + e^{-20t}$
7.5.2	$-30y + 30\cos(\pi t) - \pi \sin(\pi t)$	0	1.5	0	$\cos(\pi t) - e^{-30t}$
7.5.3	$-25y + 1.25t - 49.95$	0	1.5	0	$-2 + 0.05t + 2e^{-25t}$
7.5.4	$-20y + 20 - 19e^{-t}$	0	1.5	1	$1 - e^{-t} + e^{-20t}$
7.5.5	$-30y + \sin(2t) + 30\sin^2(t)$	0	1.5	1	$\sin^2(t) + e^{-30t}$
7.5.6	$-25y - \sin(2t) + 25\cos^2(t)$	0	1.5	0	$\cos^2(t) - e^{-25t}$

Таблица к задаче 7.6

N	A		Y_0	B		Z_0
7.6.1	-1.999	-0.019	0	-10.850	9.787	1
	-0.063	-1.051	1	32.515	-499.55	0
7.6.2	-13.237	15.299	2	-6.905	0.03	1
	33.885	522.183	0	-0.145	-6.095	5
7.6.3	-0.717	-23.827	1	-1.905	-0.015	1

	114.483	-640.393	2	-0.13	-2.295	0
7.6.4	-17.359	-0.573	2	-64.712	-85.344	1
	5.366	-21.351	1	-128.964	-170.918	0
7.6.5	-229.934	301.266	1	-2.018	-0.818	1
	227.624	-303.576	1	-0.082	-1.282	1

Таблица к задаче 7.7

N	$f(t,y)$	t_0	T	y_0	Метод*
7.7.1	$-\frac{2}{3}ty^2 + \frac{1}{3}y(\cos(\frac{t}{2}))^2$	0	5	3.4	Метод разложения по формуле Тейлора 2 порядка
7.7.2	$\frac{3}{2}e^{\frac{t}{2}}\sin(y) - \frac{1}{4}t^2$	-2	4	1.4	Модифицированный метод Эйлера 2 порядка
7.7.3	$-\frac{1}{3}y\sqrt{t} + \frac{2}{3}y^2\sin(t)$	2	10	2.2	Метод Рунге-Кутты 3 порядка I
7.7.4	$\frac{1}{2}t^2\cos(y) - \frac{1}{2}ye^{-\frac{t}{6}}$	0	6	1.1	Метод Рунге-Кутты 3 порядка II
7.7.5	$\frac{1}{3}t^3\sin(2y) - y^2e^{-\frac{t}{2}}$	-1	6	1.1	Метод Рунге-Кутты 3 порядка III
7.7.6	$-\frac{1}{3}y\sqrt{t} + \frac{2}{3}y^2\sin(t)$	2	10	2.2	Модифицированный метод Эйлера 2 порядка

ПРИЛОЖЕНИЕ 7.В.

Фрагмент решения задачи 7.1.0

Задача Коши: $y'(t)=2ty$, $t_0=0$, $T=1$,
 $y(0)=1$.

Исходные данные:

Правая часть:

$f(t,y) := 2 \cdot t \cdot y$

Начальное значение:

$y_0 := 1$

Концы отрезка:

$t_0 := 0$ $T := 1$

Шаг сетки:

$h := 0.2$

Число узлов сетки:

$N := \frac{T - t_0}{h}$ $N = 5$

Функция, реализующая явный метод Эйлера; возвращает вектор решения:

```

eyler(f, y0, t0, h, N) :=
| y0 ← y0
| for i ∈ 0.. N - 1
|   yi+1 ← yi + h · f(t0 + i · h, yi)
| y

```

* Расчетные формулы методов даны в ПРИЛОЖЕНИИ 7.С.

Входные параметры:

f - функция правой части;
 y_0 - начальное значение;
 t_0 - начальная точка отрезка;
 h - шаг сетки;
 N - число узлов сетки.

Вычисление решения по методу Эйлера:

$y_E := \text{euler}(f, y_0, t_0, h, N)$

Вычисление решения по методу Рунге-Кутты 4 порядка точности:

$y_{RK4} := \text{rkfixed}(y, t_0, T, N, f)$

входные параметры:

y - вектор начальных значений;
 t_0 - начальная точка отрезка;
 T - конечная точка отрезка;
 N - число узлов сетки;
 f - функция правой части. Функция **rkfixed** возвращает матрицу, первый столбец которой содержит узлы сетки, а второй - приближенное решение в этих узлах.

Точное решение:

$Y(t) := e^{t^2}$

Точное решение в узлах сетки:

$i := 0..N \quad t_i := t_0 + i \cdot h \quad y_{t_i} := Y(t_i)$

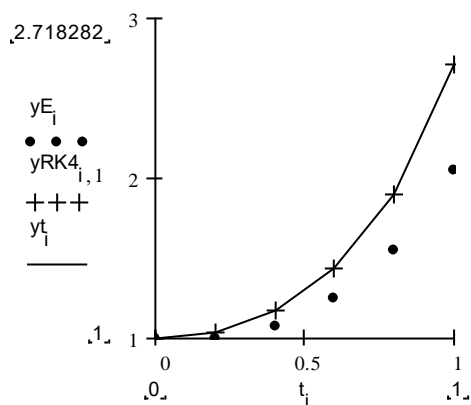
Решение по методу Эйлера Решение по методу Рунге-Кутты Точное решение

$$y_E = \begin{bmatrix} 1 \\ 1 \\ 1.08 \\ 1.253 \\ 1.553 \\ 2.051 \end{bmatrix}$$

$$y_{RK4} = \begin{bmatrix} 0 & 1 \\ 0.2 & 1.041 \\ 0.4 & 1.174 \\ 0.6 & 1.433 \\ 0.8 & 1.896 \\ 1 & 2.718 \end{bmatrix}$$

$$y_t = \begin{bmatrix} 1 \\ 1.040811 \\ 1.173511 \\ 1.433329 \\ 1.896481 \\ 2.718282 \end{bmatrix}$$

Графики приближенных и точного решений



Вычисление погрешности по правилу Рунге:

Вычисление приближенных решений с шагом $h/2$:

$$h2 := \frac{h}{2} \quad N2 := \frac{T - t0}{h2} \quad N2 = 10$$

$$yEh2 := \text{euler}(f, y_0, t0, h2, N2) \quad yRK4h2 := \text{rkfixed}(y, t0, T, N2, f)$$

Вычисление погрешностей:

$$i := 0..N$$

$$zE_i := |yE_i - yEh2_{2,i}| \quad zRK4_i := \frac{|(yRK4^{<1>})_i - (yRK4h2^{<1>})_{2,i}|}{15}$$

Значение погрешностей:

$$\max(zE) = 0.284 \quad \max(zRK4) = 1.088 \cdot 10^{-5}$$

Фрагмент решения задачи 7.2.0

Исходные данные:

$$H(t) := 0 \quad K := 1 \quad m := 1 \quad f(t) := 0 \quad x0 := 10 \quad v0 := 0 \quad t0 := 0 \quad T := 5$$

Шаг сетки:

$$h := 0.5$$

Число узлов сетки:

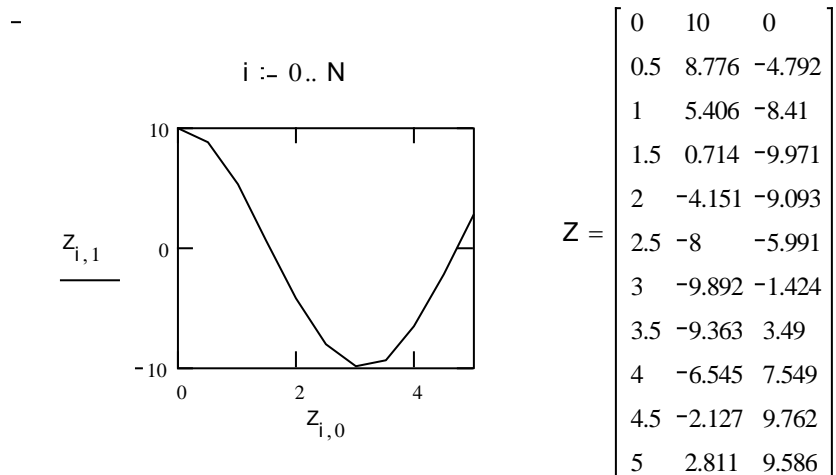
$$N := \frac{T - t0}{h} \quad N = 10$$

Формирование вектора правой части системы ОДУ и вектора начальных условий для применения встроеной функции **rkfixed**:

$$f1(t, x1, x2) := x2 \quad f2(t, x1, x2) := \frac{f(t) - H(t) \cdot x2 - K \cdot x1}{m}$$

$$x := \begin{bmatrix} x0 \\ v0 \end{bmatrix} \quad D(t, x) := \begin{bmatrix} f1(t, x_0, x_1) \\ f2(t, x_0, x_1) \end{bmatrix} \quad Z := \text{rkfixed}(x, t0, T, N, D)$$

График решения



ПРИЛОЖЕНИЕ 7.С

Правило Рунге практической оценки погрешности (правило двойного пересчета):

$$y(t_i) - y_i^{h/2} \approx \varepsilon_i^h, \text{ где } \varepsilon_i^h = \frac{y_i^{h/2} - y_i^h}{2^p - 1}, i=1, \dots, N, p - \text{порядок метода, а вычисления ведутся в}$$

узлах сетки t_i .

Уточненное решение вычисляется по формуле: $y_{i,\text{уточн.}} = y_i^{h/2} + \varepsilon_i^h, i=1, \dots, N.$

Расчетные формулы методов решения задачи Коши для ОДУ 1 порядка:

Метод разложения по формуле Тейлора 2 порядка:

$$y_{i+1} = y_i + h(f(t_i, y_i) + \frac{h}{2}[\frac{\partial f(t_i, y_i)}{\partial t} + \frac{\partial f(t_i, y_i)}{\partial y}])$$

Модифицированный метод Эйлера 2 порядка:

$$\bar{y}_{i+1} = y_i + hf(t_i, y_i), \quad y_{i+1} = y_i + \frac{h}{2}(f(t_i, y_i) + f(t_{i+1}, \bar{y}_{i+1}))$$

Метод Рунге-Кутты 3 порядка I:

$$\begin{aligned} k1 &= hf(t_i, y_i), \\ k2 &= hf(t_i + \frac{h}{2}, y_i + \frac{k1}{2}), \quad k3 = hf(t_i + h, y_i - k1 + 2k2), \\ y_{i+1} &= y_i + \frac{1}{6}(k1 + 4k2 + k3) \end{aligned}$$

Метод Рунге-Кутты 3 порядка II:

$$\begin{aligned} k1 &= hf(t_i, y_i), \\ k2 &= hf(t_i + \frac{h}{3}, y_i + \frac{k1}{3}), \quad k3 = hf(t_i + \frac{2}{3}h, y_i + \frac{2}{3}k2), \\ y_{i+1} &= y_i + \frac{1}{4}(k1 + 3k3) \end{aligned}$$

Метод Рунге-Кутты 3 порядка III:

$$\begin{aligned} k1 &= hf(t_i, y_i), \\ k2 &= hf(t_i + \frac{h}{2}, y_i + \frac{k1}{2}), \quad k3 = hf(t_i + \frac{3}{4}h, y_i + \frac{3}{4}k2), \\ y_{i+1} &= y_i + \frac{1}{9}(2k1 + 3k2 + 4k3) \end{aligned}$$

Экстраполяционный метод Адамса 2 порядка:

$$y_{i+1} = y_i + \frac{h}{2}(3f(t_i, y_i) - f(t_{i-1}, y_{i-1}))$$

Экстраполяционный метод Адамса 3 порядка:

$$y_{i+1} = y_i + \frac{h}{12}(23f(t_i, y_i) - 16f(t_{i-1}, y_{i-1}) + 5f(t_{i-2}, y_{i-2}))$$

Экстраполяционный метод Адамса 4 порядка:

$$y_{i+1} = y_i + \frac{h}{24}[55f(t_i, y_i) - 59f(t_{i-1}, y_{i-1}) + 37f(t_{i-2}, y_{i-2}) -$$

$$-9f(t_{i-3}, y_{i-3})]$$

Сведение ОДУ 3 порядка к системе ОДУ 1 порядка (для задачи 7.4):

$$y_1' = y_2$$

$$y_2' = y_3$$

$$y_3' = \frac{f(t) - a_1 y_3 - a_2 y_2 - a_3 y_1}{a_0}$$

$$y_1(A) = b_1, \quad y_2(A) = b_2, \quad y_3(A) = b_3.$$

Условие устойчивости явного метода Эйлера для системы ОДУ 1 порядка с постоянными коэффициентами $Y'(t) = MY(t)$, $Y(t_0) = Y_0$:

$$h \leq 2 / \max_i |\operatorname{Re} \lambda_i|, \text{ где } \lambda_i, i=1, \dots, n, - \text{собственные числа матрицы } M \text{ порядка } n.$$

ЛИТЕРАТУРА

1. Амосов А.А., Дубинский Ю.А., Копченова Н.В. Вычислительные методы для инженеров. М.: Высшая школа, 1994.